

Laudationes 2013 (4 figs.) 123

Agemar, T., Alten, J.-A., Ganz, B., Kuder, J., Kühne, K., Schumacher, S. & Schulz, R.: The Geothermal Information System for Germany – GeotIS. [Das Geothermische Informationssystem für Deutschland – GeotIS.] (9 figs., 3 tables) 129

Gereke, M., Luppold, F.W., Piecha, M., Schindler, E. & Stoppel, D.: Die Typlokalität der Kellwasser-Horizonte im Oberharz, Deutschland. [The type locality of the Kellwasser-Horizons in the Upper Harz Mountains, Germany.] (10 figs.) 145

Arp, G., Aiglstorfer, M., Havlik, P., Krause, T., Schulbert, C. & Seppelt, S.: New exposure of the Ludwigskanal section near Dörlbach – a key section for the Lower Jurassic in the Franconian Alb, Southern Germany. [Neuaufschluss des Ludwigskanal-Profiles bei Dörlbach – ein Schlüsselprofil für den Unteren Jura der Fränkischen Alb, Süddeutschland.] (12 figs., 1 table) 163

Janetschke, N. & Wilmsen, M.: Sequence stratigraphy of the lower Upper Cretaceous Elbtal Group (Cenomanian–Turonian of Saxony, Germany). [Sequenzstratigraphie der unteren Oberkreide der Elbtal-Gruppe (Cenoman–Turon von Sachsen, Deutschland).] (12 figs.) 179

Rütters, S. & McCann, T.: Geochemical characterisation of the Eocene-age Ainsa Basin succession, Southern Pyrenees, Spain: implications for provenance, tectonic setting and palaeoclimate. [Geochemische Charakterisierung der eozänen sedimentären Abfolge des Ainsa-Beckens,

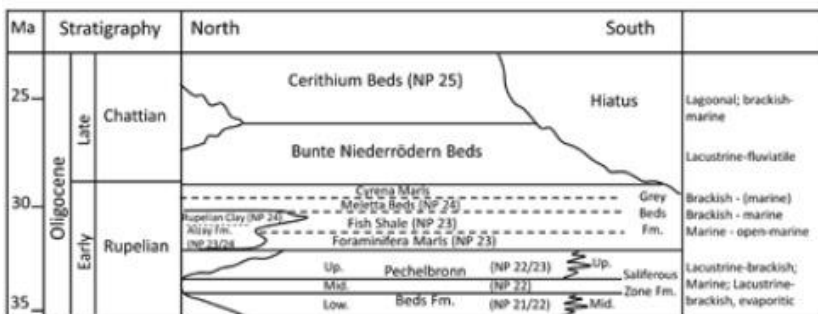
Südpirenen, Spanien: Hinweise auf Herkunftsgesteine, tektonische Verhältnisse und Paläoklima.] (13 figs., 2 tables) 209

Biber, J.L. & McCann, T.: Peperite development in a Miocene-age carbonate succession, Cabo de Gata volcanic area (Agua Amarga/Carboneras basins), SE Spain – The Brèche Rouge revisited. [Peperitentwicklung in einer miozänen Karbonatabfolge, Cabo de Gata-Vulkangebiet (Agua Amarga/Carboneras-Becken), SE-Spanien – Neubetrachtung der Brèche Rouge.] (10 figs.) 229

Böcker, J. & Littke, R.: Source rock characterisation and thermal maturity of the Rupelian Fish Shale (Bodenheim Fm./Hochberg Subfm.) in the central Upper Rhine Graben. [Muttermatgesteinscharakterisierung und thermische Reife des Fischschiefers (Bodenheim Fm./Hochberg Subfm.) im zentralen Oberrheingraben.] (22 figs., 5 tables) 247

Naumann, M., Waldeck, A., Poßin, W., Schwarz, C. & Fritz, J.: Ableitung von Korngrößenverteilungen aus textbasierten petrografischen Bohrgutbeschreibungen. [Deduction of grain-size distributions based on petrographic borehole descriptions.] (8 figs., 4 tables) 275

Schäfer, A. & Utescher, T.: Origin, sediment fill, and sequence stratigraphy of the Cenozoic Lower Rhine Basin (Germany) interpreted from well logs. [Entstehung, Sedimentfüllung und Sequenzstratigraphie des känozoischen Niederhein-Beckens (Deutschland) interpretiert aus Bohrprofilen.] (15 figs.) 287



Abbildungen / Figures

Titelbild / Frontpage
From Agemar et al. (Fig. 2): Subsurface temperature in Germany at 2500 m below sea level.

Diese Seite / This page
a: From Böcker & Littke (Fig. 2): Stratigraphic sequence and depositional environment of Oligocene sediments from the Upper Rhine Graben.

b: From Schäfer & Utescher (Fig. 3): Stratigraphic section across the centre of the Lower Rhine Basin.

c: From Arp et al. (Fig. 8): Pyritic ammonites from the historic Lower Jurassic section of the Ludwigskanal near Dörlbach.